



دانشگاه بیرجند

دانشکده فنی و مهندسی

پایان نامه کارشناسی ارشد رشته مهندسی مکانیک (گرایش تبدیل انرژی)

عنوان:

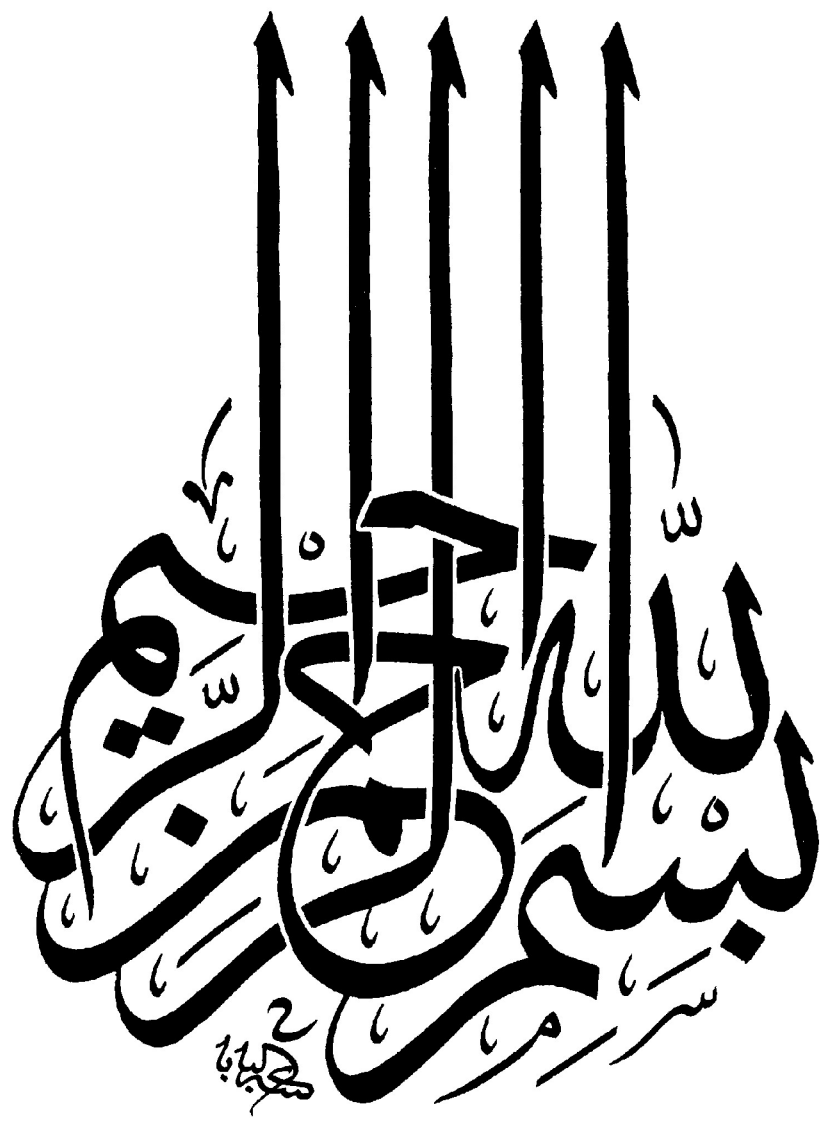
شبیه سازی عددی گذر از احتراق به انفجار در مخلوط های گازی

استاد راهنما:

دکتر جواد خادم

نگارش:

پیمان طبی کاخکی



چکیده

امروزه به دلیل کاربرد وسیع موتورهای انفجار پالسی، تحقیقات زیادی در زمینه پدیده گذر از احتراق به انفجار صورت می‌گیرد. یک مسئله مهم در رابطه با گذر از احتراق به انفجار، طول و زمان پیش از انفجار می‌باشد که کاهش آن از اهمیت زیادی برخوردار است. در این پایان نامه اثر پارامترهای مهم جریان از جمله نسبت هم ارزی، فشار و دمای اولیه مخلوط و نیز انرژی اشتعال بر طول و زمان پیش از انفجار بررسی شده است. همچنین اثر وجود موانع آشفته ساز (اریفیس) در درون لوله را به عنوان روشی برای کاهش طول و زمان پیش از انفجار بررسی نموده ایم. در این پایان نامه از یک شبیه سازی عددی دو بعدی جریان آشفته در مختصات استوانه ای به همراه یک سنیتیک شیمیایی چند مرحله ای مخلوط استیلن - اکسیژن شامل ۱۹ جزء و ۲۵ واکنش شیمیایی که برای پایداری انفجار با نیتروژن رقیق سازی شده است، استفاده کرده ایم. نتایج عددی حاصل از این شبیه سازی تطابق خوبی را با نتایج آزمایشگاهی موجود نشان می‌دهد.

تقدیم

به پاس تعبیر عظیم و انسانی شان از کلمه ایثار و از خودگذشتگی

به پاس عاطفه سرشار و گرمای امیدبخش وجودشان که در این سردترین روزگاران بهترین پشتیبان است

به پاس قلب های بزرگشان که فریاد رس است و سرگردانی و ترس در پناهشان به شجاعت می گراید

و به پاس محبت های بی دریغشان که هرگز فروکش نمی کند

این مجموعه را به پدر و مادر و برادران عزیزم تقدیم می کنم

تقدیر و تشکر

در آغاز لازم می دانم از زحمات پدر و مادر گرامی ام و کلیه کسانی که در دوران تحصیل همواره مشوق و پشتیبان اینجانب بوده اند کمال تشکر را داشته باشم.

همچنین از زحمات اساتید محترم آقایان دکتر حسن زاده، دکتر صفوی نژاد، دکتر ملک جعفریان، دکتر میربزرگی و به خصوص استاد ارجمند جناب آقای دکتر خادم که با راهنمایی های خود راه گشای اینجانب بوده اند کمال تشکر و سپاسگزاری را دارم.

و نیز از زحمات دانشجویان صمیمی و مهربان دانشگاه بیرجند بالاخص جناب آقای مهندس کلاهدوز که کمک فراوانی در انجام این پایان نامه داشته اند تشکر و قدردانی می کنم.

فهرست مطالب

صفحه	عنوان
خ	فهرست اشکال
ر	فهرست جداول
ز	فهرست علائم
۱	فصل اول: مقدمه
۲	۱-۱ مقدمه
۳	۲-۱ مکانیزم های کاهش طول و زمان پیش از انفجار
۴	۳-۱ اهداف
۶	فصل دوم: مروری بر کارهای انجام شده
۷	۲-۱ مقدمه
۸	۲-۲ مروری بر کارهای انجام شده اخیر
۱۳	فصل سوم: اصول مبانی انفجار
۱۴	۱-۳ مقدمه
۱۴	۲-۳ تئوری چاپمن- جوگت
۱۸	۳-۳ تئوری ZND
۲۰	۴-۳ عوامل موثر بر پدیده گذر از احتراق به انفجار
۲۴	فصل چهارم: مدل ریاضی جریان آشفته یک مخلوط گازی واکنشی
۲۵	۱-۴ مقدمه
۲۵	۲-۴ شبیه سازی مخلوط گازی چند جزئی
۲۶	۱-۲-۴ همگن سازی مشخصات یک محیط تراکم پذیر
۲۸	۳-۴ معادلات متوضط گیری شده فاور برای دینامیک مخلوط های گازی چند جزئی
۲۸	۱-۳-۴ معادله پیوستگی
۲۸	۲-۳-۴ معادله بقای جرمی اجزاء
۲۹	۳-۳-۴ معادلات مومنتوم

۳۰	۴-۳-۴ معادله بقای انرژی و معادله حالت.
۳۲	۴-۳-۵ معادله رینولدز برای انرژی جنبشی ویژه نوسانات آشفتگی
۳۳	۴-۴ شبیه سازی آشفتگی با مدل $k - \epsilon$
۳۷	۴-۵ شکل قابل استفاده معادلات جهت مدل سازی مخلوط گاز چند جزئی.
۳۷	۱-۵-۴ معادلات حرکت (دینامیکی).
۳۸	۲-۵-۴ معادله حالت
۳۹	۴-۶ معادلات دینامیکی مخلوط گازی چند جزئی در سیستم مختصات استوانه ای
۴۱	۴-۷ فعل و انفعالات شیمیابی در یک مخلوط گازی چند جزئی.
۴۳	۸-۴ شبیه سازی اشتعال مخلوط
۴۴	فصل پنجم: حل عددی مدل احتراق یک مخلوط گازی چند جزئی آشفته
۴۵	۱-۵ مقدمه
۴۶	۲-۵ محاسبه عددی پارامترهای مخلوط
۴۶	۱-۲-۵ شبکه محاسباتی برای میدان مشخصه های مخلوط
۴۷	۳-۵ نمادسازی برداری معادلات اساسی دینامیکی
۴۹	۴-۵ جدادسازی گام زمانی و اعمال آن در فرآیندها
۵۱	۵-۵ محاسبات مربوط به ترم موضعی
۵۱	۱-۵-۵ محاسبات سنتیک شیمیابی
۵۳	۲-۵-۵ محاسبه پارامترهای آشفتگی
۵۶	۶-۵ محاسبات مربوط به ترم جایگابی
۵۶	۱-۶-۵ مقدمه
۵۷	۲-۶-۵ الگوریتم جدادسازی اختلاف شارها یک جریان آشفته
۷۰	۷-۵ محاسبه قسمت های آشفتگی و نفوذ معادلات
۷۰	۱-۷-۵ مقدمه
۷۰	۲-۷-۵ معادلات تفاضلی و ضرایب آن ها
۷۵	۳-۷-۵ ضرایب معادلات برای شرایط مرزی
۷۶	۸-۵ شرایط مرزی برای مشخصه های یک مخلوط گازی چند جزئی
۷۷	۹-۵ شرایط اولیه در مخلوط گازی چند جزئی
۷۸	۱۰-۵ کد کامپیوتروی

فصل ششم: نتایج

۷۹	۱-۶ مقدمه
۸۰	۲-۶ مشخصات حوزه حل
۸۱	۳-۶ تولید شبکه
۸۴	۴-۶ اعتبار سنجی حل عددی
۸۹	۵-۶ نتایج حاصل برای یک لوله صاف
۸۹	۱-۵ تغییرات فشار و دمای مرکز لوله بر حسب فاصله در زمان های مختلف
۹۱	۲-۵ کانتورهای سرعت افقی در یک لوله صاف
۹۳	۳-۵ کانتورهای فشار در یک لوله صاف
۹۵	۴-۵ کانتورهای دما در یک لوله صاف
۹۷	۵-۵ کانتورهای چگالی مخلوط در یک لوله صاف
۹۹	۶-۵ اثر نسبت هم ارزی مخلوط بر فاصله و زمان پیش از انفجار
۱۰۱	۷-۵ اثر فشار اولیه مخلوط بر فاصله و زمان پیش از انفجار
۱۰۳	۸-۵ اثر دمای اولیه مخلوط بر فاصله و زمان پیش از انفجار
۱۰۵	۹-۵ اثر انرژی اشتعال بر فاصله و زمان پیش از انفجار
۱۰۷	۱۰-۵ اثر نسبت هم ارزی، فشار و دمای اولیه مخلوط بر سرعت انفجار
۱۱۰	۶ نتایج حاصل برای یک لوله اریفیس دار
۱۱۳	۱-۶ تغییرات فشار و دمای مرکز لوله بر حسب فاصله
۱۱۵	۲-۶ کانتورهای سرعت افقی در یک لوله اریفیس دار
۱۱۷	۳-۶ کانتورهای فشار در یک لوله اریفیس دار
۱۱۹	۴-۶ کانتورهای دما در یک لوله اریفیس دار
۱۲۱	۵-۶ اثر موضع بر فاصله و زمان پیش از انفجار در نسبت های هم ارزی مختلف
۱۲۳	۶-۶ اثر نسبت انسداد اریفیس ها بر فاصله و زمان پیش از انفجار
۱۲۶	فصل هفتم: نتیجه گیری و پیشنهادات
۱۲۷	۱-۷ نتیجه گیری
۱۲۹	۲-۷ پیشنهادات
۱۳۰	منابع و مراجع

فهرست اشکال

فصل دوم: مروری بر کارهای انجام شده

۹ شکل (۱-۲): سرعت شعله مخلوط های هیدروژن - هوا بر حسب فاصله برای مخلوط های هیدروژن - هوا
۱۰ شکل (۲-۲): شتاب شعله پروپان - هوا با تغییر نسبت انسداد موائع و درصد پروپان
۱۰ شکل (۳-۲): سرعت شعله بر حسب فاصله برای مخلوط های هیدروژن - هوا در دمای 300 K و فشار 0.1 MPa
۱۱ شکل (۴-۲): تغییرات طول پیش از انفجار نسبت به شعاع حلقه اشتعال در نسبت های هم ارزی مختلف مخلوط هیدروژن - هوا

فصل سوم: اصول مبانی انفجار

۱۵ شکل (۱-۳): موج احتراف ساکن در مدل چاپمن - جوگت
۱۵ شکل (۲-۳): منحنی هوگونیوت در مدل چاپمن - جوگت
۱۷ شکل (۳-۳): موج متحرک در مدل چاپمن - جوگت
۱۸ شکل (۴-۳): ساختار جبهه موج شاک در مدل ZND
۱۹ شکل (۵-۳): نواحی تاخیر و واکنش در مدل ZND و تغییر خواص پشت جبهه شاک ZND
۲۰ شکل (۶-۳): اثر نوع سوخت مختلف بر فاصله پیش از انفجار
۲۱ شکل (۷-۳): اثر نسبت هم ارزی مختلف مخلوط بر زمان پیش از انفجار
۲۲ شکل (۸-۳): اثر مقدار انرژی اولیه مختلف بر فاصله پیش از انفجار
۲۲ شکل (۹-۳): وجود فنر شلکین در درون لوله جهت آشفتگی جریان
۲۳ شکل (۱۰-۳): نمایش اریفیس ها در درون لوله جهت آشفتگی جریان
۲۳ شکل (۱۱-۳): وجود محفظه در طول لوله جهت آشفتگی جریان

فصل ششم: نتایج

۸۰ شکل ۱-۶: نمایش ابعاد لوله صاف
۸۱ شکل ۲-۶: نمایش ابعاد یک لوله اریفیس دار
۸۲ شکل ۳-۶: مش بندی یکنواخت لوله صاف
۸۳ شکل ۴-۶: نمایش شعاع های داخلی و خارجی یک صفحه اریفیس واقع در درون لوله
۸۳ شکل ۵-۶: مش بندی غیر یکنواخت لوله اریفیس دار
۸۴ شکل ۶-۶: مقایسه نتایج حل عددی با نتایج آزمایشگاهی مرجع [۵۴] و سرعت چاپمن - جوگت برای دمای اولیه 293 K و واکنش $\text{C}_2\text{H}_2 + 2.5\text{ O}_2$
۸۵ شکل ۷-۶: مقایسه نتایج حل عددی با نتایج آزمایشگاهی مرجع [۵۴] و سرعت چاپمن - جوگت برای دمای اولیه 293 K و واکنش $\text{C}_2\text{H}_2 + 2.5\text{ O}_2 + 3.5\text{ AR}$
۸۵ شکل ۸-۶: مقایسه نتایج حل عددی با نتایج آزمایشگاهی مرجع [۵۴] و سرعت چاپمن - جوگت برای دمای اولیه 500 K و واکنش $\text{C}_2\text{H}_2 + 2.5\text{ O}_2$
۸۶ شکل ۹-۶: مقایسه نتایج حل عددی با نتایج آزمایشگاهی مرجع [۵۴] و سرعت چاپمن - جوگت برای دمای اولیه 500 K و واکنش $\text{C}_2\text{H}_2 + 2.5\text{ O}_2 + 3.5\text{ AR}$

- شكل ۱۰-۶: تغییرات سرعت جبهه شعله مخلوط استیلن - هوا بر حسب فاصله لوله در شرایط دمای K_{۲۹۳} و kpa_{۱۰۰} نسبت هم ارزی $\Phi = 1$ ۸۷
- شكل ۱۱-۶: منحنی مکان جبهه شعله بر حسب زمان برای مخلوط استیلن - هوا در شرایط دمای K_{۲۹۸} و kpa_{۱۰۰} نسبت هم ارزی $\Phi = 1$ ۸۸
- شكل ۱۲-۶: تغییرات فشار مرکز لوله بر حسب فاصله لوله در زمان های مختلف برای مخلوط استیلن - هوا در شرایط دمای K_{۳۵۰} و kpa_{۱۰۰} نسبت هم ارزی $\Phi = 1$ ۸۹
- شكل ۱۳-۶: تغییرات دمای مرکز لوله بر حسب فاصله لوله در زمان های مختلف برای مخلوط استیلن - هوا در شرایط دمای K_{۳۵۰} و kpa_{۱۰۰} نسبت هم ارزی $\Phi = 1$ ۹۰
- شكل ۱۴-۶: کانتورهای سرعت افقی در طول یک لوله صاف در زمان های مختلف برای مخلوط استیلن - هوا در شرایط دمای K_{۲۹۸} و kpa_{۱۰۰} نسبت هم ارزی $\Phi = 1$ ۹۲
- شكل ۱۵-۶: کانتورهای فشار در طول یک لوله صاف در زمان های مختلف برای مخلوط استیلن - هوا در شرایط دمای K_{۲۹۸} و kpa_{۱۰۰} نسبت هم ارزی $\Phi = 1$ ۹۴
- شكل ۱۶-۶: کانتورهای دما در طول یک لوله صاف در زمان های مختلف برای مخلوط استیلن - هوا در شرایط دمای K_{۲۹۸} و kpa_{۱۰۰} نسبت هم ارزی $\Phi = 1$ ۹۶
- شكل ۱۷-۶: کانتورهای چگالی مخلوط در طول یک لوله صاف در زمان های مختلف برای مخلوط استیلن - هوا در شرایط دمای K_{۲۹۸} و kpa_{۱۰۰} نسبت هم ارزی $\Phi = 1$ ۹۸
- شكل ۱۸-۶: فاصله پیش از انفجار بر حسب تغییرات نسبت هم ارزی مخلوط استیلن - هوا در یک لوله صاف برای شرایط دمای K_{۲۹۸} و انرژی اشتعال j_{ig} = 1 ۹۹
- شكل ۱۹-۶: زمان پیش از انفجار بر حسب تغییرات نسبت هم ارزی مخلوط استیلن - هوا در یک لوله صاف برای شرایط دمای K_{۲۹۸} و انرژی اشتعال j_{ig} = 1 ۱۰۰
- شكل ۲۰-۶: فاصله پیش از انفجار بر حسب تغییرات فشار اولیه مخلوط استیلن - هوا در یک لوله صاف برای شرایط دمای K_{۲۹۸} و انرژی اشتعال j_{ig} = 1 نسبت هم ارزی $\Phi = 1$ ۱۰۱
- شكل ۲۱-۶: زمان پیش از انفجار بر حسب تغییرات فشار اولیه مخلوط استیلن - هوا در یک لوله صاف برای شرایط دمای K_{۲۹۸} و انرژی اشتعال j_{ig} = 1 نسبت هم ارزی $\Phi = 1$ ۱۰۲
- شكل ۲۲-۶: فاصله پیش از انفجار بر حسب تغییرات دمای اولیه مخلوط استیلن - هوا در یک لوله صاف برای شرایط فشار kpa_{۱۰۰} و انرژی اشتعال j_{ig} = 1 نسبت هم ارزی $\Phi = 1$ ۱۰۳
- شكل ۲۳-۶: زمان پیش از انفجار بر حسب تغییرات دمای اولیه مخلوط استیلن - هوا در یک لوله صاف برای شرایط فشار kpa_{۱۰۰} و انرژی اشتعال j_{ig} = 1 نسبت هم ارزی $\Phi = 1$ ۱۰۴
- شكل ۲۴-۶: فاصله پیش از انفجار بر حسب تغییرات انرژی اشتعال در مخلوط استیلن - هوا در یک لوله صاف برای شرایط فشار kpa_{۱۰۰}، نسبت هم ارزی $\Phi = 1$ و دمای K_{۲۹۸} ۱۰۵
- شكل ۲۵-۶: زمان پیش از انفجار بر حسب تغییرات انرژی اشتعال در مخلوط استیلن - هوا در یک لوله صاف برای شرایط فشار kpa_{۱۰۰}، نسبت هم ارزی $\Phi = 1$ و دمای K_{۲۹۸} ۱۰۶
- شكل ۲۶-۶: سرعت انفجار بر حسب تغییرات نسبت هم ارزی مخلوط استیلن - هوا در یک لوله صاف برای شرایط فشار kpa_{۱۰۰} و انرژی اشتعال j_{ig} = 1 ۱۰۷
- شكل ۲۷-۶: سرعت انفجار بر حسب تغییرات فشار اولیه مخلوط استیلن - هوا در یک لوله صاف برای شرایط دمای K_{۲۹۸} و انرژی اشتعال j_{ig} = 1 نسبت هم ارزی $\Phi = 1$ ۱۰۸

- شكل ۲۸-۶: سرعت انفجار بر حسب تغییرات دمای اولیه مخلوط استیلن - هوا در یک لوله صاف برای شرایط فشار ۱۰۰ kpa، نسبت هم ارزی $\Phi = 1$ و انرژی اشتعال $E_{ig} = 1$ ۱۰۹
- شكل ۲۹-۶: نمایش اریفیس ها در تمام طول لوله ۱۱۰
- شكل ۳۰-۶: نمایش اریفیس ها در نصف ابتدایی طول لوله ۱۱۰
- شكل ۳۱-۶: سرعت جبهه شعله بر حسب فاصله در یک لوله اریفیس دار برای فواصل مختلف شروع اولین اریفیس از ابتدای لوله ۱۱۱
- شكل ۳۲-۶: سرعت جبهه شعله بر حسب فاصله لوله برای دو حالت: (الف) با وجود اریفیس در تمام طول لوله (ب) با وجود اریفیس در نصف ابتدایی لوله ۱۱۲
- شكل ۳۳-۶: تغییرات فشار مرکز لوله مخلوط استیلن - هوا بر حسب فاصله در یک لوله اریفیس دار در زمان های مختلف برای شرایط دمای K، فشار ۳۰۰ kpa، نسبت هم ارزی $\Phi = 1$ ، انرژی اشتعال $E_{ig} = 1$ و نسبت انسداد BR = 0.31 ۱۱۳
- شكل ۳۴-۶: تغییرات دمای مرکز لوله مخلوط استیلن - هوا بر حسب فاصله در یک لوله اریفیس دار در زمان های مختلف برای شرایط دمای K، فشار ۳۰۰ kpa، نسبت هم ارزی $\Phi = 1$ ، انرژی اشتعال $E_{ig} = 1$ و نسبت انسداد BR = 0.31 ۱۱۴
- شكل ۳۵-۶: کانتورهای سرعت افقی در طول یک لوله اریفیس دار برای مخلوط استیلن - هوا در زمان های مختلف برای شرایط دمای K، فشار ۲۹۸ kpa، نسبت هم ارزی $\Phi = 1$ ، انرژی اشتعال $E_{ig} = 1$ و نسبت انسداد BR = 0.43 ۱۱۵
- شكل ۳۶-۶: کانتورهای فشار در طول یک لوله اریفیس دار برای مخلوط استیلن - هوا در زمان های مختلف برای شرایط دمای K، فشار ۱۰۰ kpa، نسبت هم ارزی $\Phi = 1$ ، انرژی اشتعال $E_{ig} = 1$ و نسبت انسداد BR = 0.43 ۱۱۶
- شكل ۳۷-۶: کانتورهای دما در طول یک لوله اریفیس دار برای مخلوط استیلن - هوا در زمان های مختلف برای شرایط دمای K، فشار ۱۰۰ kpa، نسبت هم ارزی $\Phi = 1$ ، انرژی اشتعال $E_{ig} = 1$ و نسبت انسداد BR = 0.43 ۱۱۷
- شكل ۳۸-۶: فاصله پیش از انفجار بر حسب تغییرات نسبت هم ارزی مخلوط استیلن - هوا برای شرایط دمای K، فشار ۲۹۸ kpa، انرژی اشتعال $E_{ig} = 1$ در سه حالت: (الف) لوله صاف (ب) لوله ای با نسبت انسداد BR = 0.31 (ج) لوله ای با نسبت انسداد BR = 0.43 ۱۱۸
- شكل ۳۹-۶: زمان پیش از انفجار بر حسب تغییرات نسبت هم ارزی مخلوط استیلن - هوا برای شرایط دمای K، فشار ۱۰۰ kpa، انرژی اشتعال $E_{ig} = 1$ در سه حالت: (الف) لوله صاف (ب) لوله ای با نسبت انسداد BR = 0.31 (ج) لوله ای با نسبت انسداد BR = 0.43 ۱۱۹
- شكل ۴۰-۶: فاصله پیش از انفجار بر حسب تغییرات نسبت انسداد اریفیس ها در مخلوط استیلن - هوا برای شرایط دمای K، فشار ۲۹۸ kpa، انرژی اشتعال $E_{ig} = 1$ و نسبت هم ارزی $\Phi = 1$ ۱۲۰
- شكل ۴۱-۶: زمان پیش از انفجار بر حسب تغییرات نسبت انسداد اریفیس ها در مخلوط استیلن - هوا برای شرایط دمای K، فشار ۱۰۰ kpa، انرژی اشتعال $E_{ig} = 1$ و نسبت هم ارزی $\Phi = 1$ ۱۲۱

فهرست جداول

فصل چهارم: مدل ریاضی جریان آشفته یک مخلوط گازی واکنشی

- جدول (۴-۱): فهرست نماد ها و عملیات برداری و تansوری ۲۶
جدول (۴-۲): مکانیزم سنتیک کوتاه واکنش های چند مرحله ای مخلوط استیلن - اکسیژن ۴۱

فصل ششم: نتایج

- جدول ۶-۱: مکان آغاز انفجار بر حسب تغییرات تعداد نقاط شبکه در جهت α ۸۱
جدول ۶-۲: مکان آغاز انفجار بر حسب تغییرات تعداد نقاط شبکه در جهت β ۸۲

فهرست علائم

a (m/s)	سرعت صوت
$A_r \left(s^{-1} \left(\frac{cm^3}{mol} \right)^{r_0-1} \right)$	ضریب آرنیوس
BR	نسبت انسداد
C_{CFL}	عدد کورانت
CJ	چاپمن - جوگت
\hat{C}_P ($KJ/Kg.K$)	گرمای ویژه متوسط در فشار ثابت
c_{p_k} ($KJ/Kg.K$)	گرمای ویژه در فشار ثابت جزء k ام
\hat{C}_v ($KJ/Kg.K$)	گرمای ویژه متوسط در حجم ثابت
C_{v_k} ($KJ/Kg.K$)	گرمای ویژه جزء k ام در حجم ثابت
C_μ	ضریب ثابت در مدل $\epsilon - k$
$C_{1\epsilon}$	ضریب ثابت در مدل $\epsilon - k$
$C_{2\epsilon}$	ضریب ثابت در مدل $\epsilon - k$
DDT	گذر از احتراق به انفجار
D_i	ضریب نفوذ مولکولی
D_μ	ضریب انتقال لزجت موثر
E (KJ/Kg)	انرژی داخلی کل
\dot{E}_{ex} ($J/m^3.s$)	انرژی ورودی از خارج
E_{ig} (J)	انرژی کل اشتعال

e_k (KJ/Kg)	انرژی داخلی جزء k ام
E_a (KJ/mol)	انرژی فعال سازی
f	خاصیت جریان
$\langle f \rangle$	مقدار متوسط زمانی خاصیت جریان
$[f]$	مقدار متوسط فاور خاصیت جریان
f'	مولفه نوسانی خاصیت جریان در متوسط گیری زمانی
f''	مولفه نوسانی خاصیت جریان در متوسط گیری فاور
$F_\mu(d)$	تابع دیواره در مدل لام - برمهرست
$F_{1\varepsilon}(d)$	ضریب در تابع دیواره مدل لام - برمهرست
$F_{2\varepsilon}(d)$	ضریب در تابع دیواره مدل لام - برمهرست
G°_k (J/Kg)	انرژی استاندارد گیبس برای جزء k ام
h_k (KJ/Kg)	آنالپی جزء k ام
h_{0k}	آنالپی تشکیل جزء k ام
$\vec{I}_k^{(l)}$	شار نفوذی مولکولی آرام جزء k ام
$\vec{I}_k^{(t)}$	شار نفوذی مولکولی آشفته جزء k ام
\vec{I}_k	شار نفوذی مولکولی کل جزء k ام
$\vec{I}_q^{(l)}$	شار انرژی گرمایی آرام جزء k ام
$\vec{I}_q^{(t)}$	شار انرژی گرمایی آشفته جزء k ام
\vec{I}_q	شار انرژی گرمایی کل جزء k ام
\vec{I}_{ch}	شار نفوذی ناشی انرژی شیمیایی
\vec{J}_q	شار انرژی گرمایی هدایتی
\vec{J}_k	شار انرژی جنبشی آشفته

\vec{J}_ε	شار نرخ اضمحلال انرژی جنبشی آشفته
$k \text{ (} m^2/\text{s}^2 \text{)}$	انرژی جنبشی آشفته
k_0	انرژی جنبشی آشفته در لحظه اولیه
k_{fr}	ثابت نرخ واکنش رفت
k_{br}	ثابت نرخ واکنش برگشت
N	تعداد اجزاء واکنش
n_r	توان ضریب دما در معادله آرنیوس
P_1	ضریب تولید انرژی آشفتگی
P_2	ضریب تولید انرژی آشفتگی
$P_{atm}(\text{Pa})$	فشار اتمسفر
$P(\text{Pa})$	فشار کل
PDE	موتور انفجار پالسی
P_0	فشار اولیه مخلوط
$Q_{ig} \text{ (} J/\text{s} \text{)}$	گرمای کل منبع اشتعال
$R_g \text{ (} J/mol \cdot K \text{)}$	ثابت جهانی گازها
r_{ig}	شعاع منطقه اشتعال کروی
r_0	مرتبه واکنش
$t \text{ (} s \text{)}$	زمان
t_{ig}	زمان اشتعال
$s \text{ (} J/m^3K \text{)}$	انتروپی مخلوط بر واحد جرم
$T \text{ (} K \text{)}$	دما
T_0	دما اولیه مخلوط

T_{ref}	دمای مرجع
u_{0_k}	انرژی داخلی تشکیل جزء k ام در دمای مرجع
$\vec{v} \text{ (m/s)}$	سرعت
v_r	سرعت در راستای شعاع
v_x	سرعت در راستای محور افقی
v'_{kr}	ضرایت استوکیومتریک جزء k ام در ورودی
v''_{kr}	ضرایت استوکیومتریک جزء k ام در خروجی
$W \text{ (gr/mol)}$	جرم مولکولی کل
W_k	جرم مولکولی جزء k ام
x	ثابت ون کارمن
X_k	كسر مولی جزء k ام
X_k^0	كسر مولی جزء k ام در لحظه اولیه
Y_k	كسر جرمی جزء k ام
Y_k^0	كسر جرمی جزء k ام در لحظه اولیه
ZND	مدل زلدویچ - ون نیومن - دورینگ
علائم یونانی	
γ	ضریب آدیاباتیک
$\varepsilon \text{ (m}^2/\text{s}^3\text{)}$	نرخ اضمحلال انرژی آشفتگی
ε_0	نرخ اضمحلال انرژی آشفتگی در لحظه اولیه
$\lambda \text{ (W/m.k)}$	ضریب هدایت حرارتی

μ ($N.s/m^2$)	لزجت دینامیکی
μ_t	لزجت دینامیکی آشفته
ν (m^2/s)	لزجت سینماتیکی
ν_t	لزجت سینماتیکی آشفته
ρ (Kg/m^3)	چگالی
ρ_0	چگالی در لحظه اولیه
σ_i	ضریب ثابت در مدل $\varepsilon - k$
σ_T	ضریب ثابت در مدل $\varepsilon - k$
σ_k	ضریب ثابت در مدل $\varepsilon - k$
σ_ε	ضریب ثابت در مدل $\varepsilon - k$
τ_n	گام زمانی
$\tau^{(l)}$	تانسور تنش آرام
$\tau^{(t)}$	تانسور تنش آشفته
τ	تانسور تنش کل
Φ	نسبت هم ارزی مخلوط
Ψ	عملگر همانی
$\dot{\omega}_k$	نرخ تشکیل جزء k ام
Ω_{ig}	حجم منطقه اشتعال
	ض

فصل اول

مقدمہ

۱-۱ مقدمه

پدیده انفجار^۱ ابتدا در سال ۱۸۸۱ توسط مالارد و لوشاکلیر^[۱] و برتلوت^[۲] کشف گردید و آنها اولین کسانی بودند که به تحقیق انتشار شعله در مخلوط های گازی همگن پرداختند و وجود نوعی از موج احتراق مأ فوق صورت که با سرعت چند هزار متر بر ثانیه حرکت می کرد را مشاهده نمودند.

تشریح تئوری اولیه این پدیده ابتدا توسط میخلسون^[۴]، چاپمن^[۵] و چوگت^[۶] ارائه شد و این خود آغازی برای مطالعه بیشتر پدیده انفجار بود.

یک تفاوت عمدی بین دو مدل احتراق شناخته شده یعنی احتراق^۲ و انفجار در مسئله تبدیل انرژی می باشد. در موج احتراق، انرژی شیمیایی مخلوط به انرژی جنبشی و گرمایی محصولات در حال انبساط تبدیل می شود در حالی که در موج انفجار قسمتی از انرژی شیمیایی به انرژی فشاری برای تراکم محصولات احتراق تبدیل می شود^[۷].

افزایش شدید فشار در موج های انفجار مانع از کاربردهای این پدیده برای اهداف غیر مخرب بود. با وجود این کاربرد انفجار مخلوط های سوخت - هوا می توانست برای بیشتر مسائل که نیازمند خروج نیروی رانش باشند، مفید واقع شود.

تا چندین دهه قبل، بررسی پدیده گذر از احتراق به انفجار^۳ برای اهداف ایمنی و جلوگیری از خسارات ناشی از انفجار در تاسیسات شیمیایی صورت می گرفت. اما امروزه از این پدیده برای اهداف گوناگونی همچون صنایع هوایی، حفاری، ایجاد پوشش های محافظ و ایجاد رانش مورد استفاده قرار می گیرد. بعنوان مثال برای پرواز با سرعت بیشتر و دستیابی به اعداد ماخ ۲-۴ و همچنین رسیدن به ارتفاع بیشتر و ورود به مدار زمین، وسایل پیش رانش پیشرفته ای نیاز است.

پدیده گذر از احتراق به انفجار می تواند در گسترش بیشتر سیستم های پیش رانش پیشرفته بکار گرفته شود. در همه این موارد نیاز به تجهیزاتی است که انفجارهای نوسانی ایجاد نمایند. یکی از مسائل مهم در ایجاد چنین تجهیزاتی آغاز انفجار است.

^۱ Detonation

^۲ Deflagration

^۳ Deflagration to Detonation Transition (DDT)

موتورهای انفجار پالسی^۱ کاربردی است که در آن ها از پدیده گذر از احتراق به انفجار (DDT) استفاده می شود^[۸]. یکی از مهمترین و اصلی ترین فواید موتورهای انفجار پالسی این است که در انفجار آنتروپی کمتری نسبت به فرآیند های مرسوم احتراق فشار ثابت هنگام احتراق یک مخلوط سوخت - هوا تولید می شود^[۹].

موتورهای انفجار پالسی اصولاً برای عدم نیاز به انرژی اولیه زیاد در آغاز احتراق، به پدیده گذر از احتراق به انفجار متکی می باشند. فرآیند DDT فرآیندی است که به وسیله آن یک احتراق توسط یک منبع انرژی ضعیف (معمولاً در حدود ۱ ژول) آغاز می شود. سپس شعله مادون صوت از طریق یک سری از فرآیند های دینامیکی گاز شتاب گرفته، سرانجام قبل از لوله خارج شود به انفجار مافوق صوت تبدیل می شود^[۱۰].

۱-۲ مکانیزم های کاهش طول و زمان پیش از انفجار

مسئله مهم در رابطه با گذر از احتراق به انفجار، طول و زمان پیش از انفجار^۲ می باشد. یک روش برای کاهش طول و زمان پیش از انفجار افزودن اکسیژن در ناحیه آغاز احتراق می باشد. این عمل می تواند به شدت طول و زمان لازم برای DDT را کاهش دهد ولی پیچیدگی زیاد، افزایش وزن و تجهیزات لجستیکی قابل توجهی را برای سیستم پیش رانش به همراه دارد. اما روش دیگر برای کوتاه کردن طول و زمان پیش از انفجار، اعمال آشفتگی^۳ در داخل جریان می باشد، که می تواند به صورت های زیر انجام پذیرد:

۱ - استفاده از فنر شلکین^۴ در ابتدای لوله نزدیک دیواره ها^[۱۲].

۲ - استفاده از محفظه در اولین قسمت لوله، جایی که جرقه اتفاق می افتد^[۱۳، ۱۵].

۳ - قرار دادن صفحات اریفیس^۵ دایروی در داخل لوله^[۱۶].

^۱ Pulse Detonation Engine (PDE)

^۲ Predetonation Length & Time

^۳ Turbulence

^۴ Shchelkin

^۵ Orifice